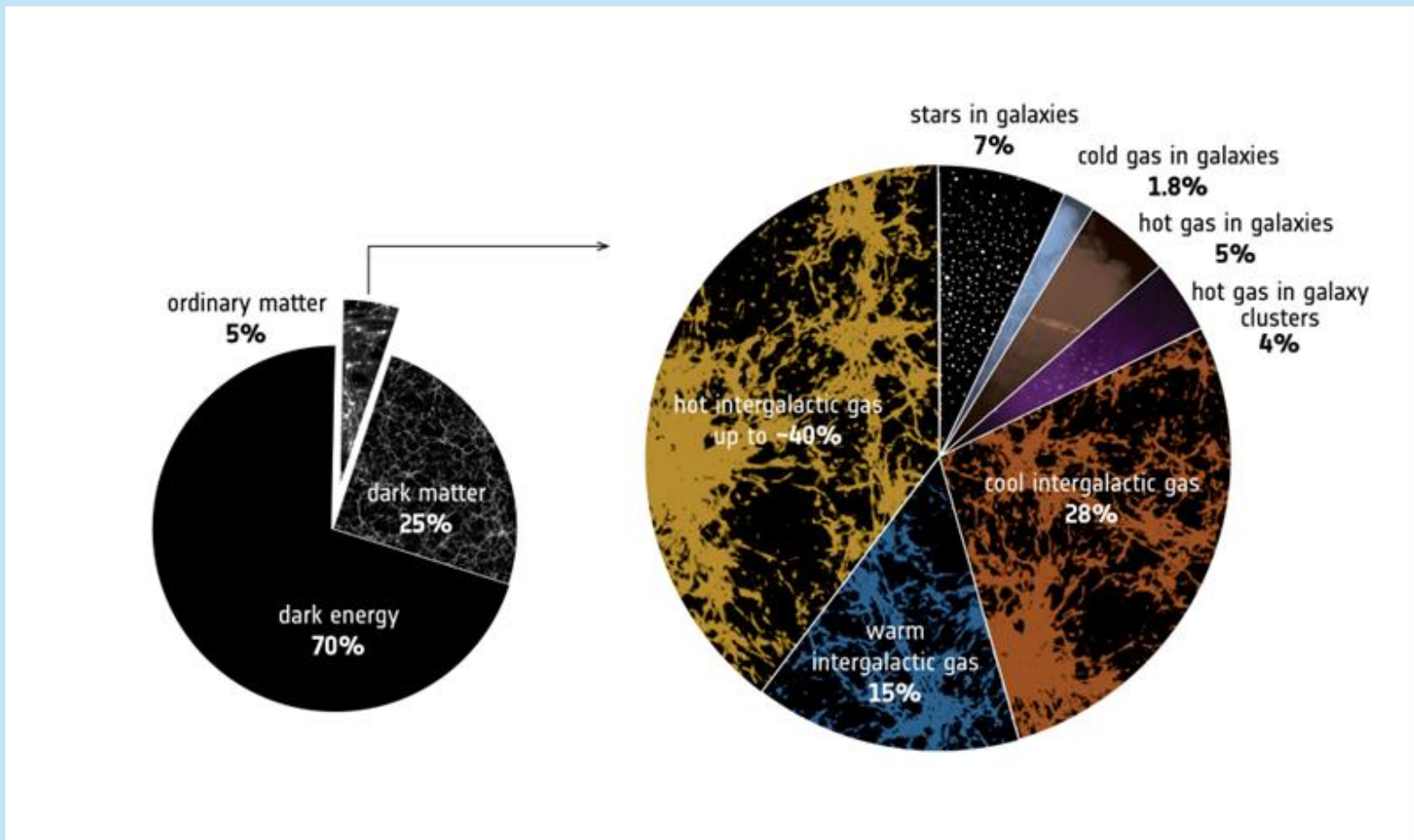
A visualization of the cosmic web, showing a complex network of purple filaments and nodes against a dark, star-filled background. The filaments are most prominent in the lower half and right side of the frame, forming a large, irregular loop. The text "Donkere energie, van idee naar realiteit?" is centered in the middle of the image.

Donkere energie, van idee naar realiteit?

Wat denken jullie is het verschil tussen donkere materie en donkere energie?

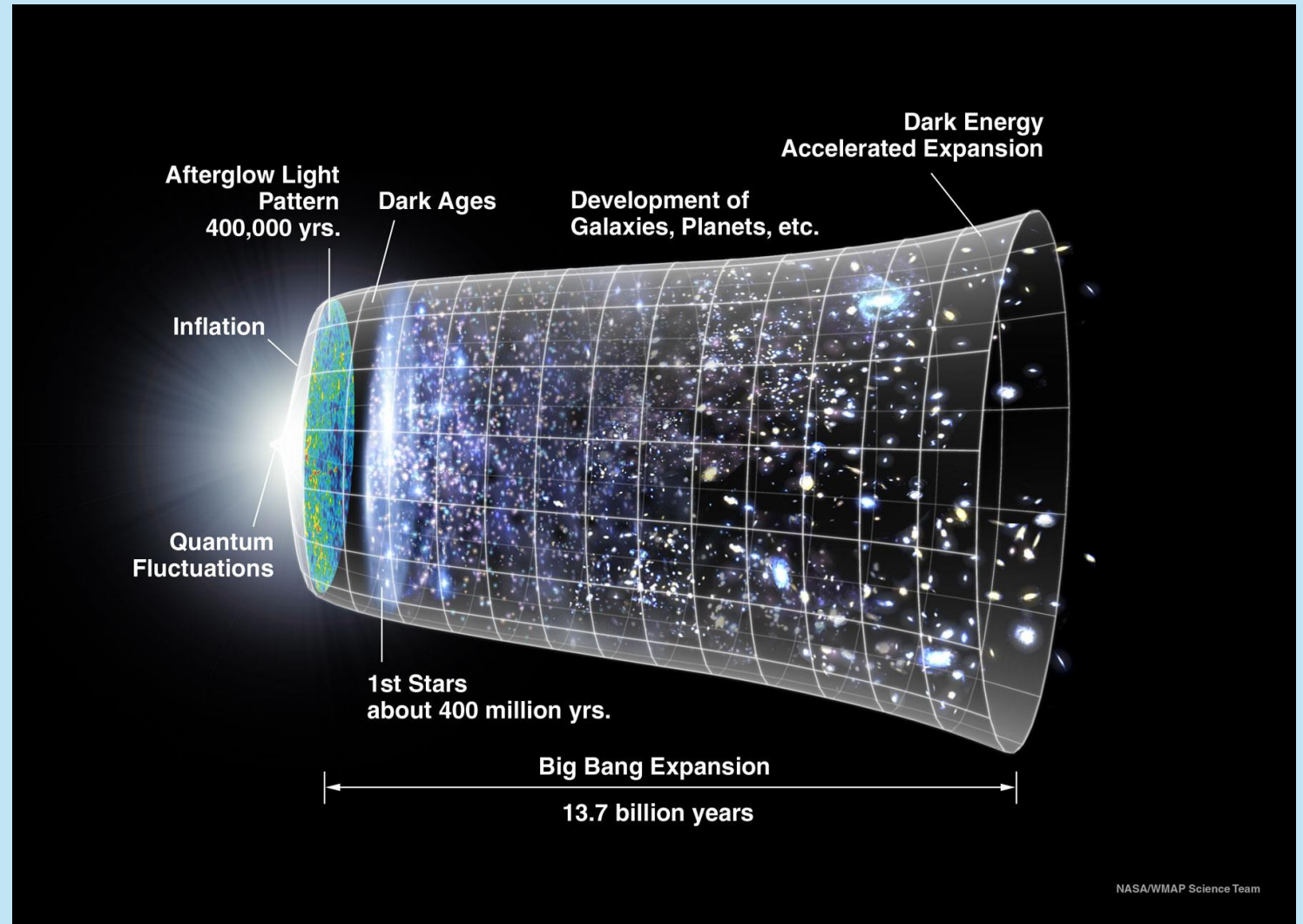
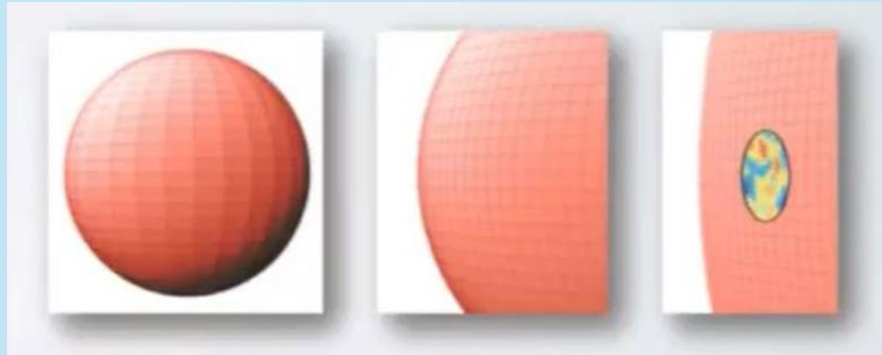
Wat zit er in het heelal ?



- Straling
 - Materie
 - Donkere materie
 - Donkere energie
- } Dark sector

Hot big bang model

- Heet dicht begin (niet in evenwicht)
- Proces van afkoeling (streven naar evenwicht) via diverse overgangen.
- Afkoeling gaat gepaard met uitdijing
- In het begin inflatie → heelal is vlak

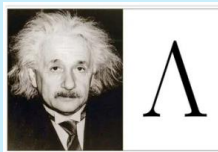
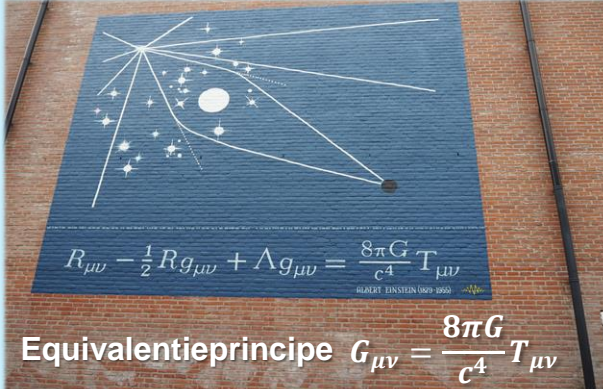


Theorie huidige heelal model

isotroop & homogeen (bewegende) ideale 'vloeistof'



Algemene relativiteitstheorie



Kosmologische constante 1917

$$T_{\mu\nu} = \begin{pmatrix} -\rho(t)c^2 & 0 & 0 & 0 \\ 0 & p(t) & 0 & 0 \\ 0 & 0 & p(t) & 0 \\ 0 & 0 & 0 & p(t) \end{pmatrix}$$

toestandsvergelijking
 $p(t) = w c^2 \rho(t)$

metriek $ds^2 = g_{\mu\nu} dx^\mu dy^\nu$

Schaal factor als functie v.d. tijd

$$ds^2 = -c^2 dt^2 + a(t)^2 \left(\frac{dr^2}{1 - kr^2} + r^2 (d\theta^2 + \sin^2 \theta d\phi^2) \right)$$

Alg. krommingsparameter

Evolutie wordt 'eenvoudig' beschreven door een schaal parameter $a(t)$ en energie dichtheden Ω_i

$$\Omega_i = \frac{\rho_i(t)}{\rho_c} = \frac{8\pi G \rho_i(t)}{3H_0^2} \quad \sum_i \Omega_i = 1$$

Hubble parameter:

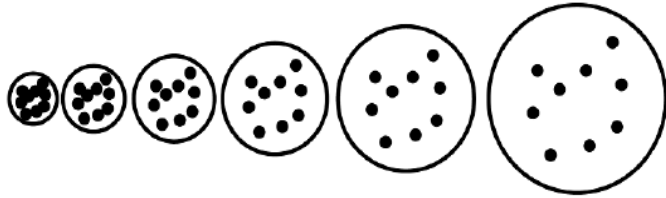
$$H(a) = \frac{1}{a(t)} \frac{da(t)}{dt} = H_0 \sqrt{\sum_i \Omega_i a^{-3(1+w_i)}}$$

Metten met roodverschuiving $z + 1 = \frac{1}{a(t)}$

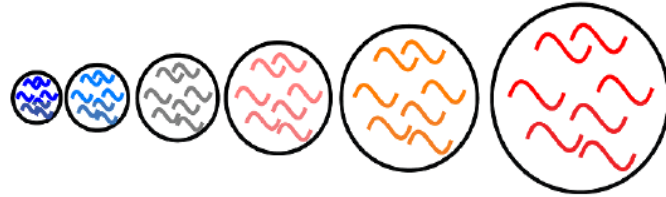
$$H(z) = H_0 E(z) \quad E(z) = \sqrt{\sum_i \Omega_i (z + 1)^{3(1+w_i)}}$$

Evolutie van de componenten

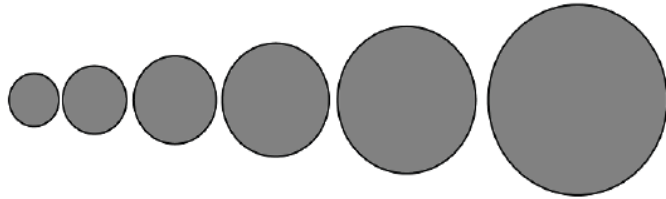
Ω_m niet relativistisch (materie)



Ω_{rel} relativistisch (straling)

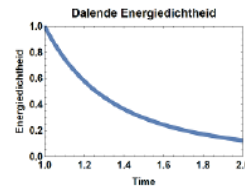


Ω_Λ vacuüm (kosmologische constante)

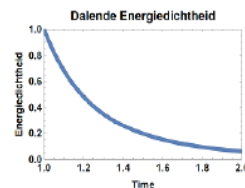


$$p(t) = w c^2 \rho(t)$$

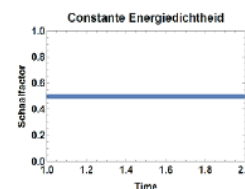
$$\Omega_i(t) = \frac{\rho_i(t)}{\rho_c}$$



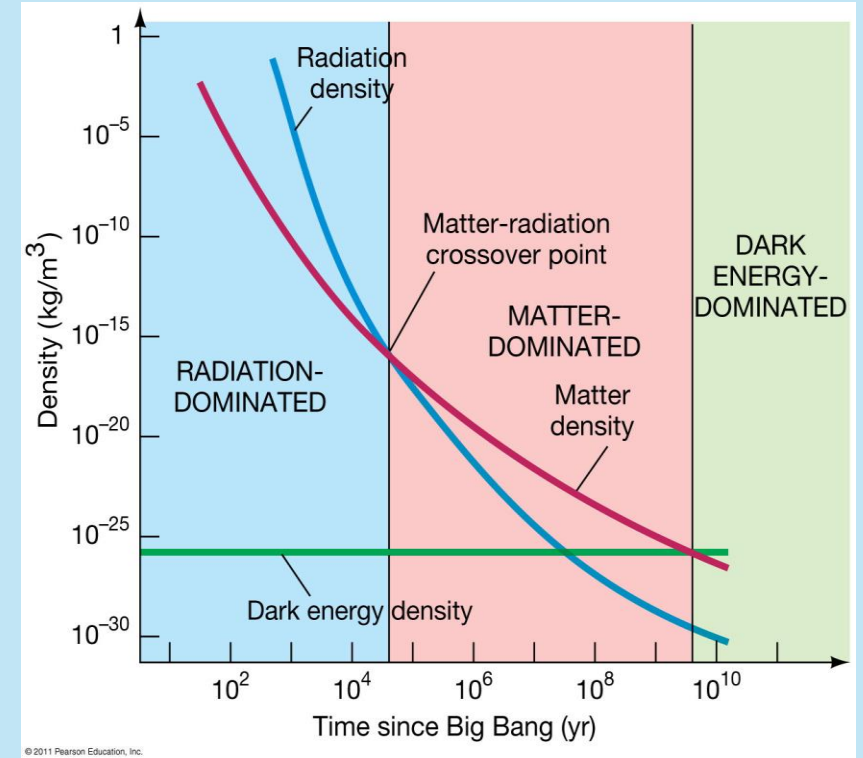
$w=0$



$w=1/3$



$w=-1$

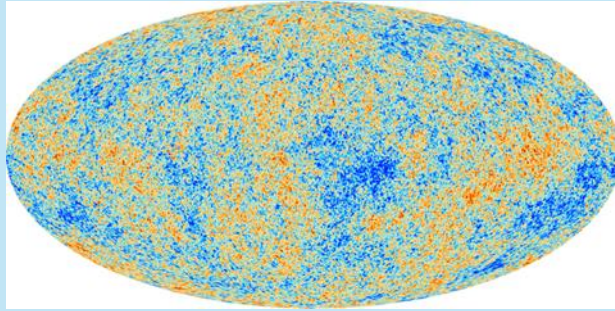


'vlak' heelal: $\Omega_m + \Omega_{rel} + \Omega_\Lambda = 1$

$$H(z) = H_0 E(z)$$

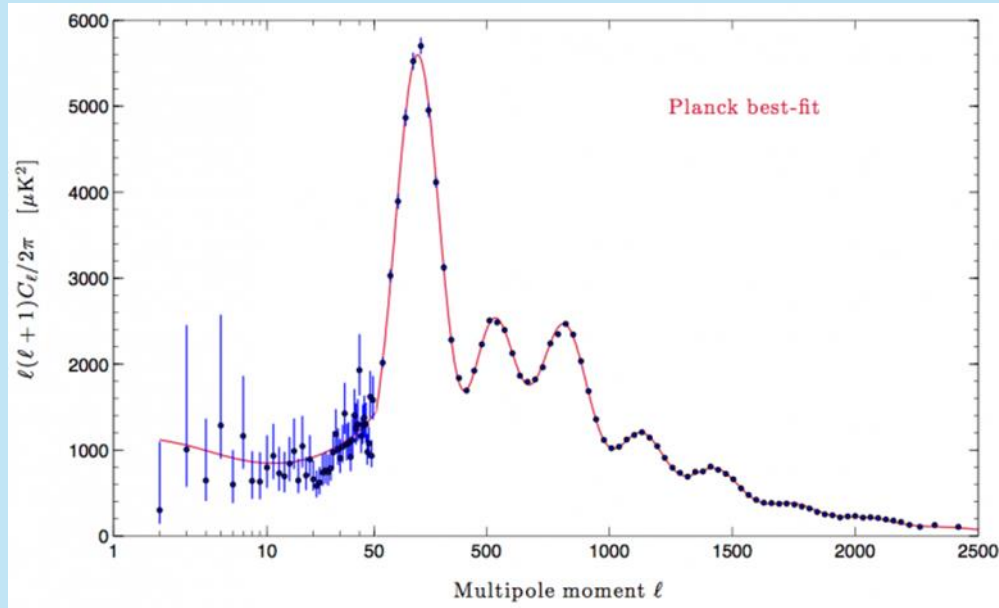
$$E(z) = \sqrt{\sum_i \Omega_i (z+1)^{3(1+w_i)}} \rightarrow E(z) = \sqrt{\Omega_{rel,0} (1+z)^4 + \Omega_{m,0} (1+z)^3 + \Omega_{\Lambda,0}}$$

Cosmic microwave background



Planck satelliet (2009 -2013)

Kaart van de 3 Kelvin achtergrond straling (baby foto heelal)

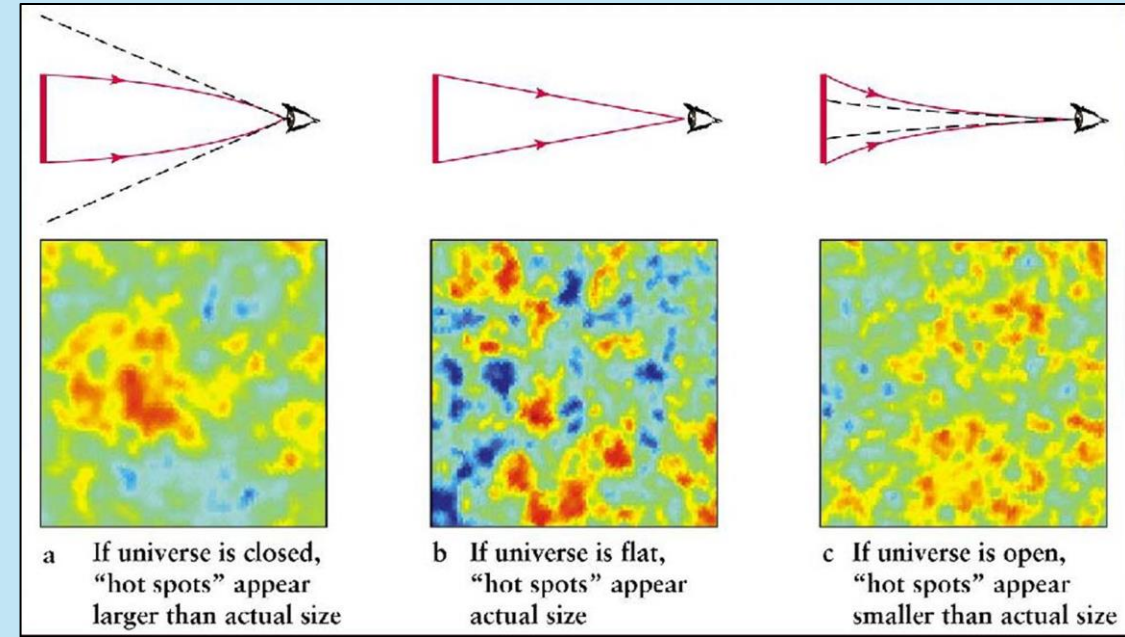


Piek 1: totale energie dichtheid

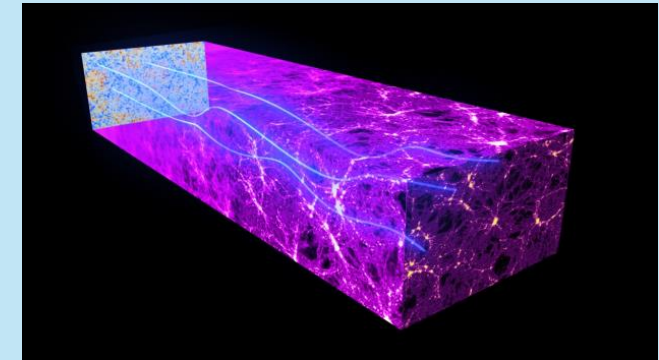
Piek 2: verhouding piek 2 en piek 3: baryonische materie

Piek 3: dichtheid (donkere) materie

CMB: ondersteuning vlak heelal



Vlak heelal: evenwijdige lichtbanen blijven evenwijdig



Heropleving kosmologische constante $\Lambda \rightarrow \Omega_\Lambda$

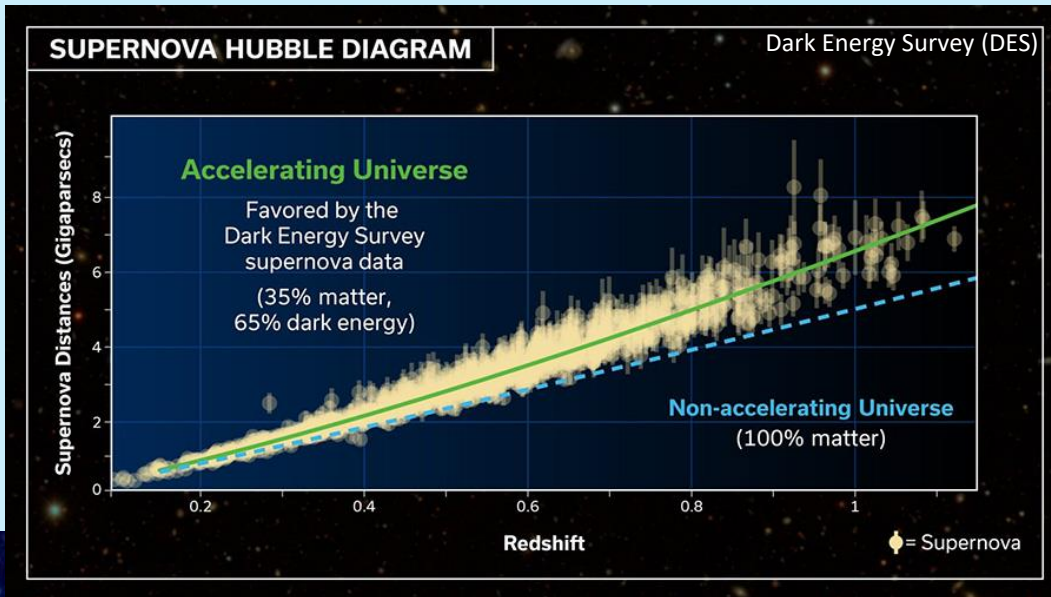
Λ terzijde geschoven want expanderend heelal \rightarrow Einstein-De Sitter heelal (vlak heelal met alleen materie, 1932)

Jaren 60/70: $\Omega_{\text{tot}} \approx 1$ & $\Omega_m \sim 0.2-0.3 \rightarrow$ heelal vlak dus 'missing mass'

Zoeken naar deze massa met preciezere waarnemingen (terugkijken met hogere roodverschuiving z)

The high- z team (Adam Riess) meten Type Ia supernovae

$$q_0 = -\frac{\ddot{a}a}{\dot{a}^2} = \frac{1}{2}\Omega_m$$



Riess mat een negatieve massa $\rightarrow \Omega_\Lambda$ weer een optie

$$q_0 = \frac{1}{2}\Omega_m - \Omega_\Lambda$$

Ω_Λ werkt tegen ($w=-1$). Tegendruk

Microsoft Word - shawlecture.doc
An interview with Nobel Laureate Adam Riess | EP News

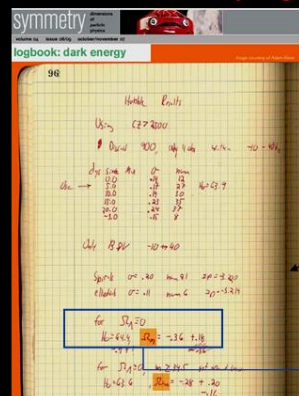
EUREKA!? In the Fall of 1997... q_0

I has been picked to lead analysis of all data (16 SNe) to date....

$$q_0 = \frac{\Omega_m}{2} - \Omega_\Lambda$$

"Eureka Moment" came when calculating the mass of Universe implied by the deceleration ($q_0 > 0$) of our supernovae, assuming no cosmological constant ($\Omega_\Lambda = 0$)

Adam's Lab book, Key Page, Fall 1997:



Negative Mass?

Actually the first indication of the discovery!

This negative sign means a negative deceleration ($q_0 < 0$) which means acceleration!

for $\Omega_\Lambda = 0$

$$\Omega_m = -0.36 \pm 0.18$$

This negative sign represents 70% of Universe!



Dec. 1998

Interpretatie Λ als Dark energy

$$w \equiv p/\rho$$

1. Static Vacuum Energy, (the cosmological constant)

A constant energy of empty space, expected in QM, consequence in GR--repulsive gravity, now $\Omega_{DE} \geq \Omega_M$ (but the coincidence problem & the 10^{120} problem)

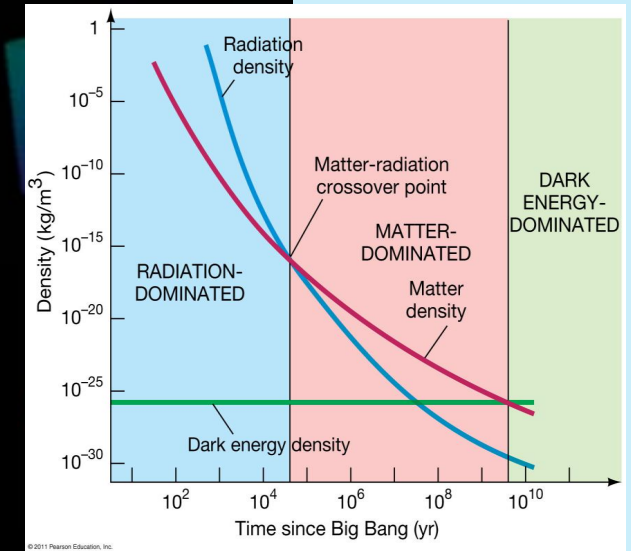
2. Dynamical dark energy

A field with energy pervades space, changes with time (e.g., “inflation-lite”)

3. Modification to GR—long range

Maybe GR fails at long range, modification as scale approaches present horizon

Tests of all 3: is DE strength constant, evolving, scale-dependent?



Donkere energie als vacuüm energie (een echte kosmologische constante)?

Vacuüm energie als nulpuntsenergie van 'alle' kwantumvelden.

Kwantumveld met hoogste energie meeste impact
→ Planck of GUT schaal

Nulpuntsenergie door onzekerheid

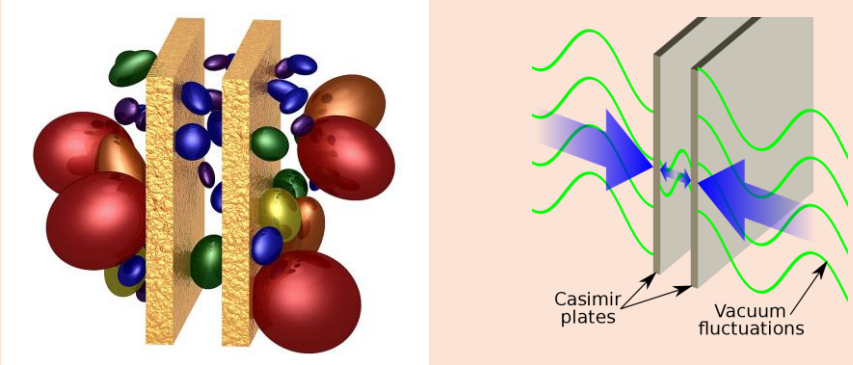
$$\Delta p \Delta r \sim h \quad \begin{array}{c} p = \frac{E}{c} \\ \Delta r = l_{pl} \end{array} \rightarrow \Delta E \sim \frac{hc}{l_{pl}}$$

Vacuüm energiedichtheid

$$\rho_{vac} \sim \frac{\Delta E}{l_{pl}^3} \sim \frac{hc}{l_{pl}^4} \quad \& \quad l_{pl} = \sqrt{\frac{hG}{c^3}}$$

[Cosmological constant problem - Wikipedia](#)

[The Cosmological Constant - Sean M. Carroll](#)



The Casimir effect, aantrekkende werking

Vacuüm energie 120 orde groter dan waargenomen Ω_Λ

VACUUM CATASTROPHE



Archimedes experiment

Heeft deze 'energie' wel invloed op de gravitatie?


[How Much Does 'Nothing' Weigh? | Scientific American](#)

Hoe zouden we DE en eventuele verandering dan kunnen waarnemen, wat zouden we dan moeten doen?

NRC 10 april 2024:

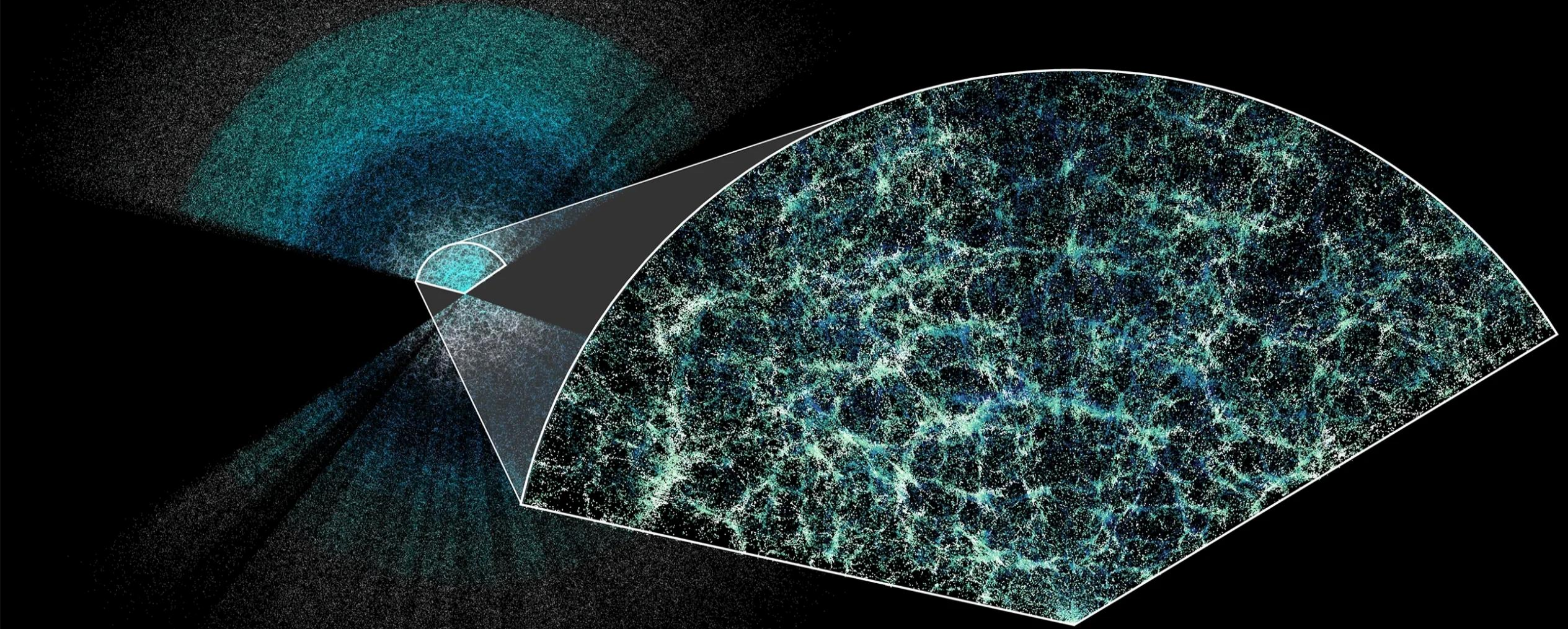
“Opwindend nieuws voor fysici: donkere energie gedraagt zich mogelijk anders dan verwacht”

Kitt Peak Arizona



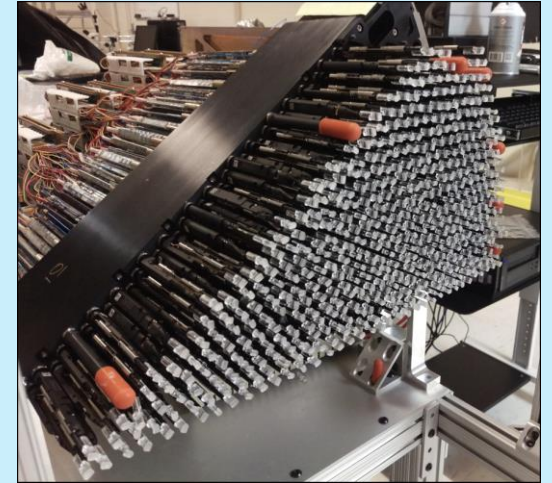
Dark Energy Spectroscopic Instrument (DESI):

3D kaart van 40 miljoen sterrenstelsels in 5 jaar tijd tot een roodverschuiving van ongeveer 2.4 (11 miljard jaar terug)

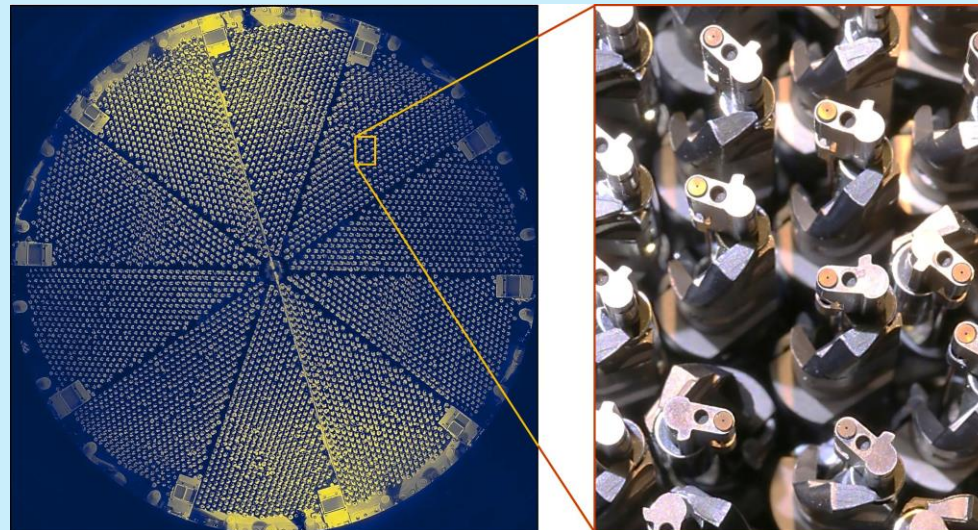




The DESI instrument is equipped with thousands of robotic fibers to dramatically speed up data collection



5000 robotic positioners



Baryon Acoustic Oscillations (BAO) and type-Ia supernovae

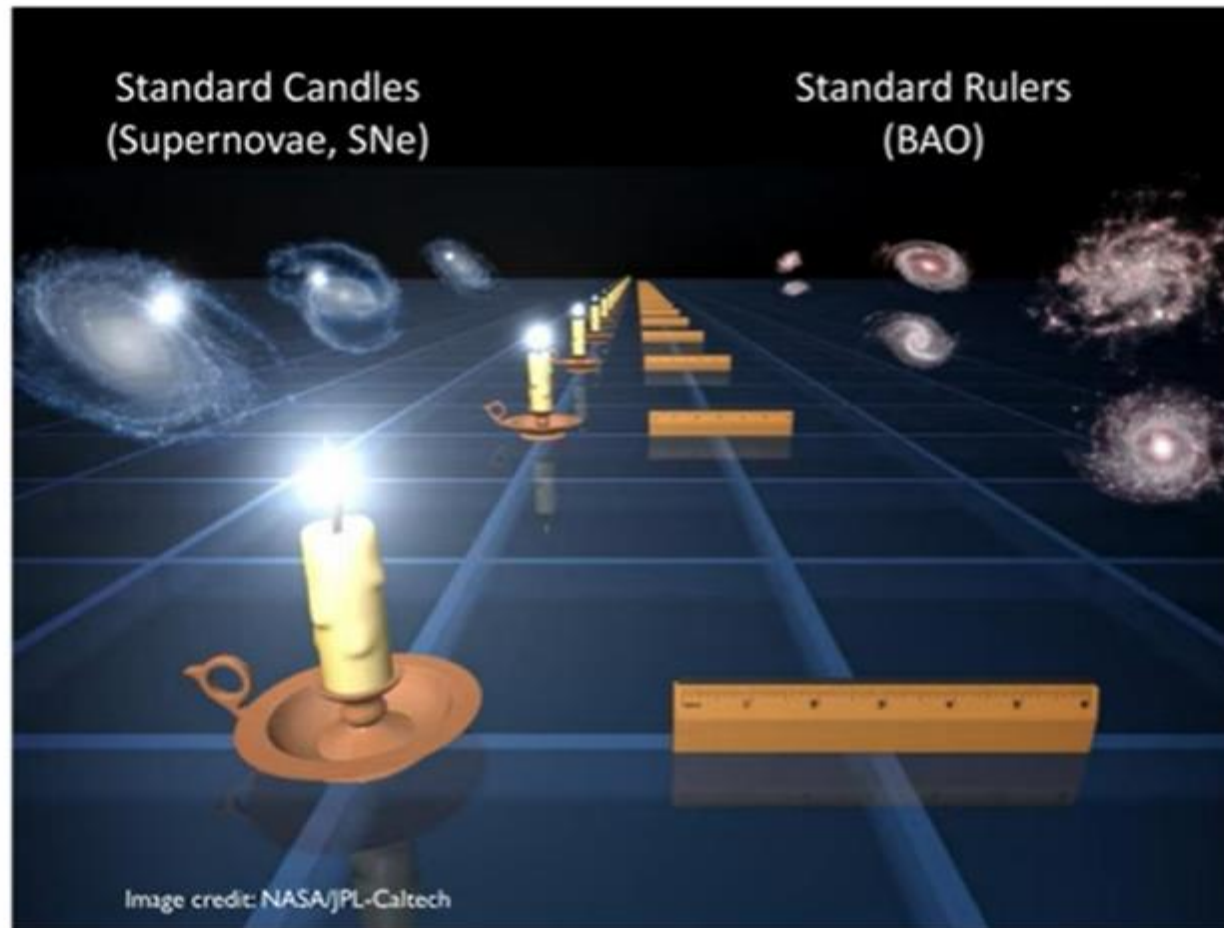


DARK ENERGY
SPECTROSCOPIC
INSTRUMENT

U.S. Department of Energy Office of Science

Baryon Acoustic Oscillations (BAO)

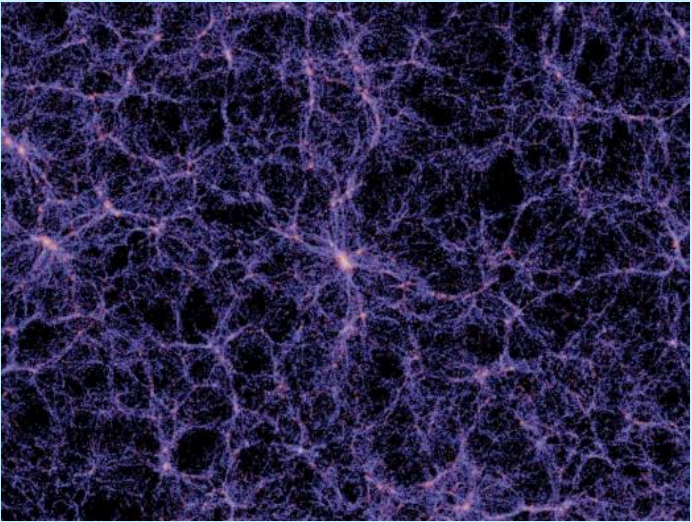
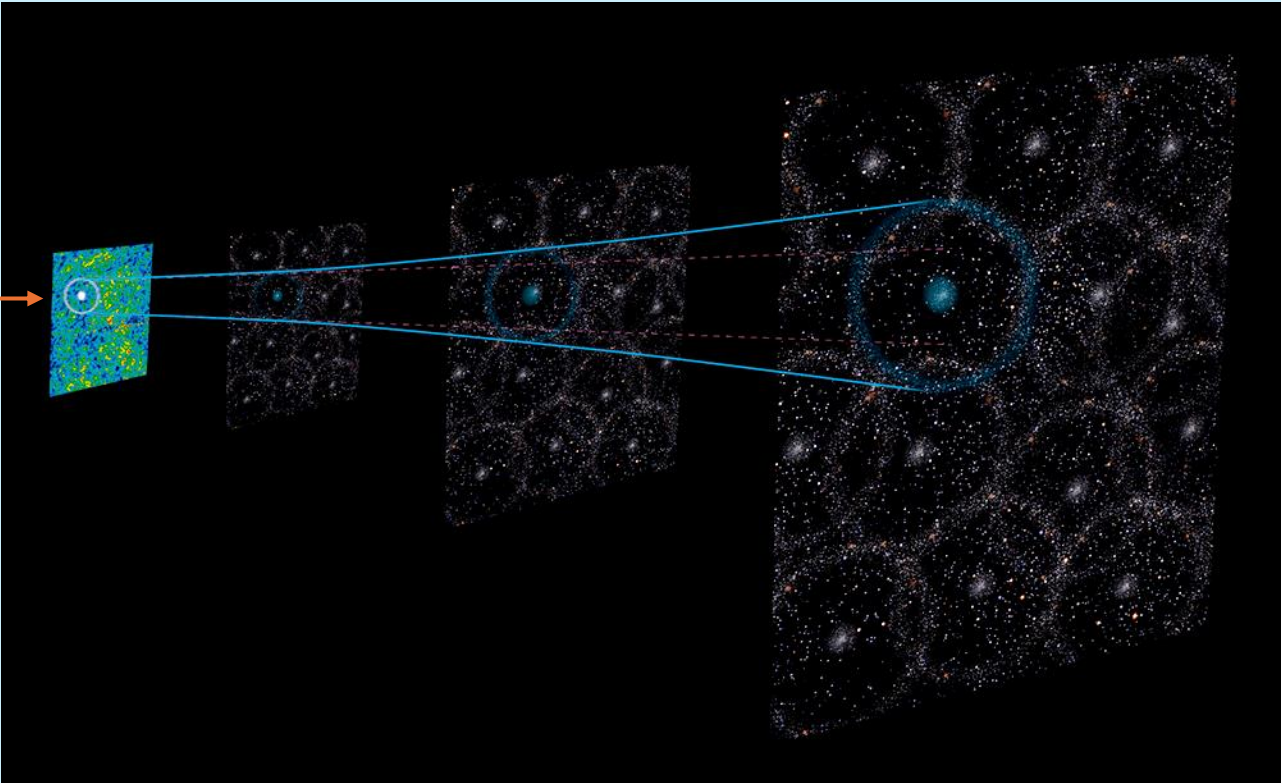
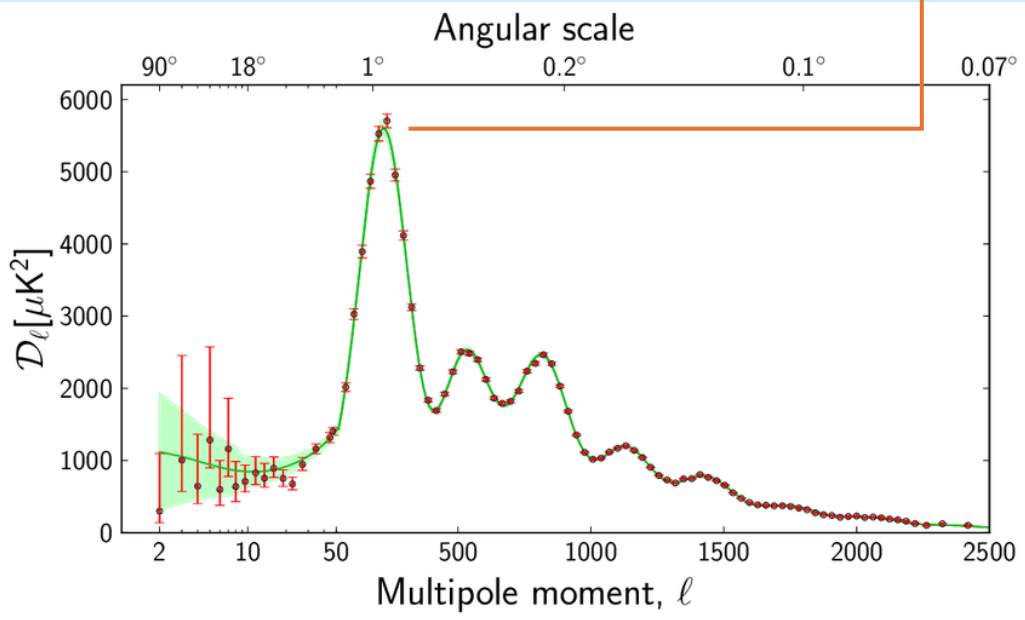
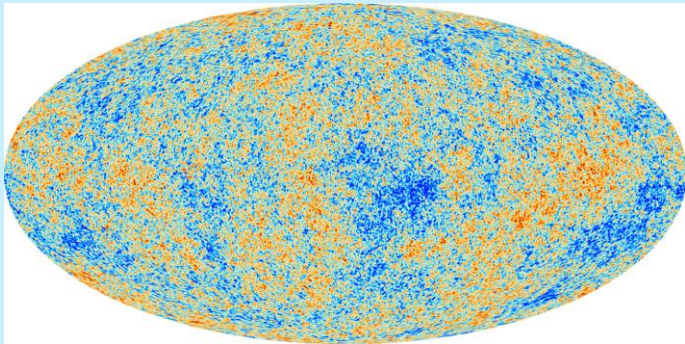
The distance-redshift relation can tell us about the nature of Dark Energy



Wat zijn de verschillen tussen een Standard Candle en een Standard Ruler?

Cosmic Ruler (BAO)

“BAO bubbles”

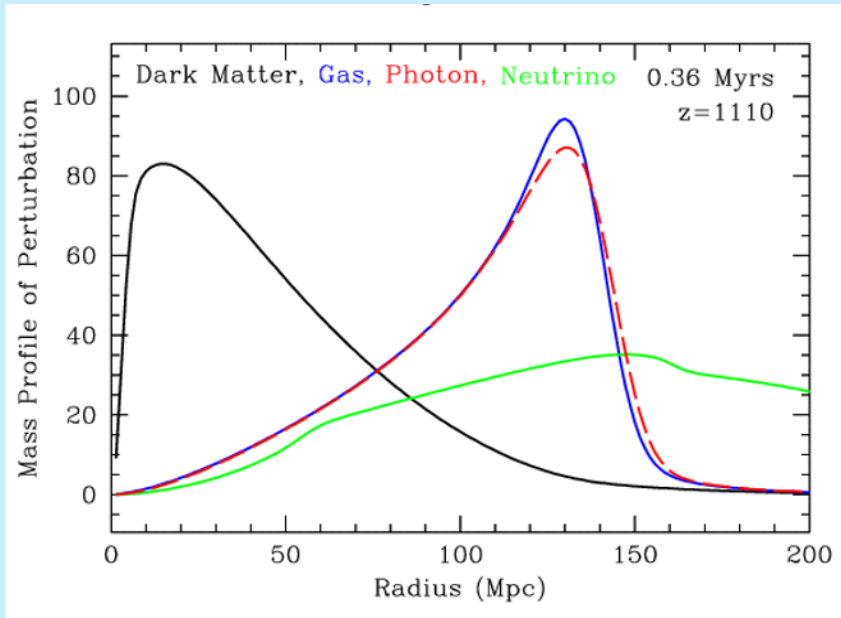


Cosmic web

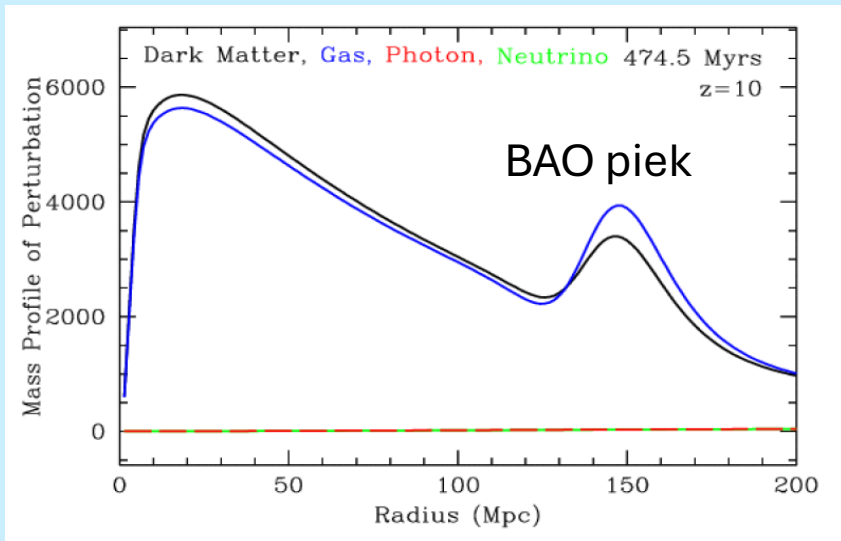
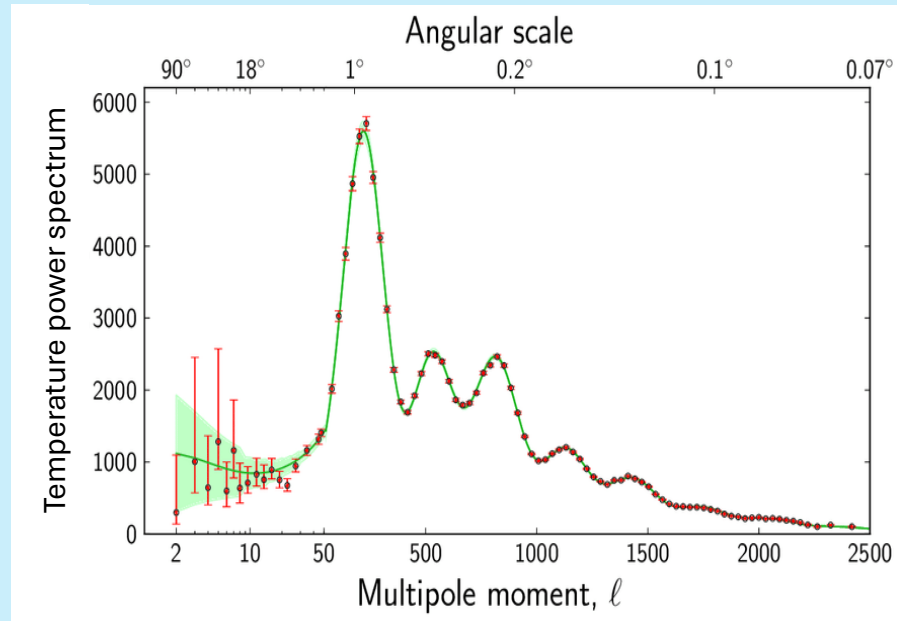


A characteristic scale is imprinted in the distribution of matter at the sound horizon $r_d \approx 150$ Mpc

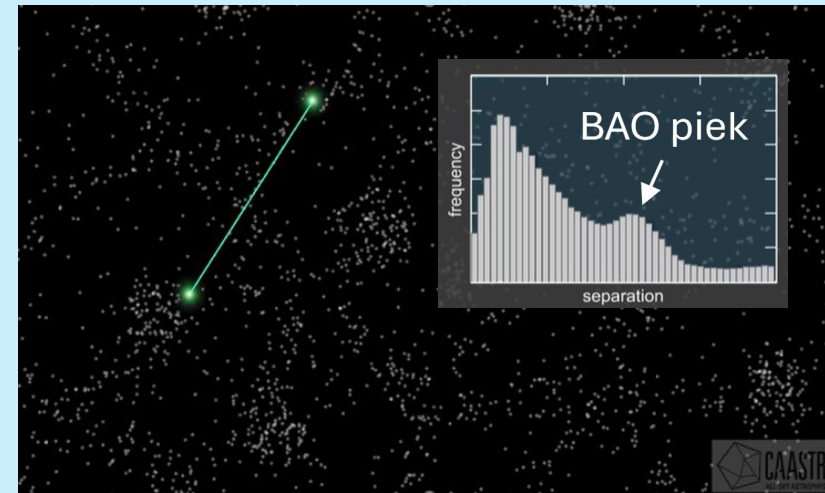
Cosmic Ruler (BAO)



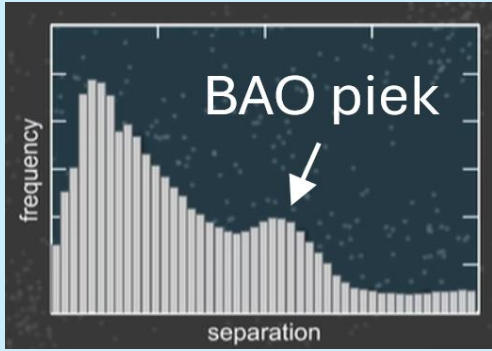
→
sound horizon



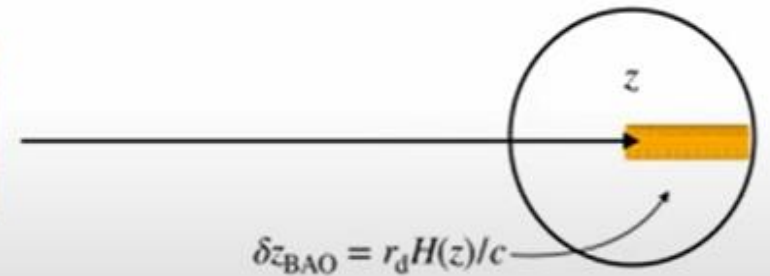
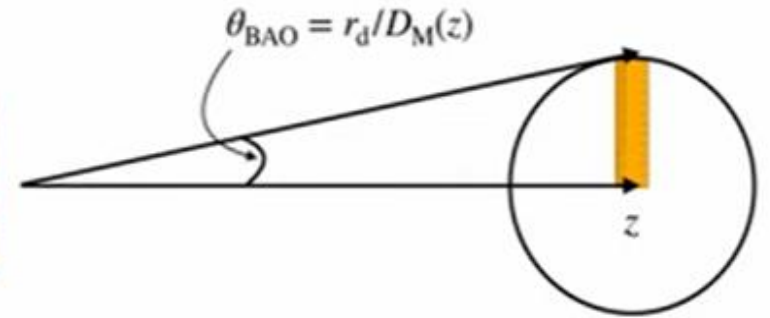
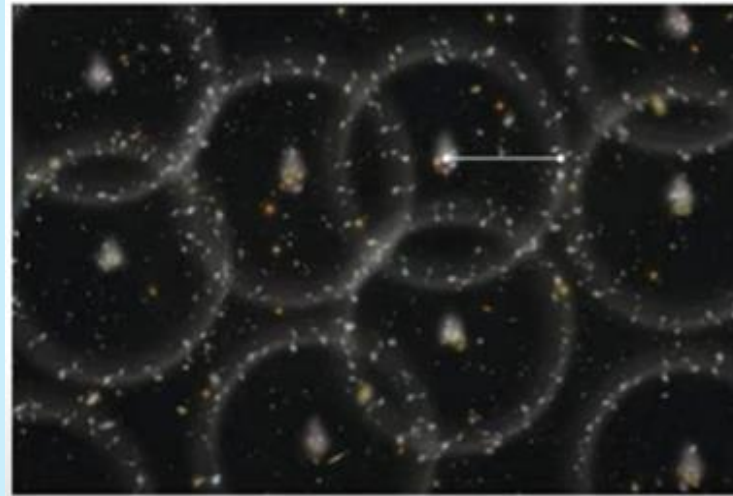
→



BAO bubbles: hoe te meten?



Baryon Acoustic Oscillations (BAO)



$$D_M(z) = \frac{c}{H_0} \int_0^z \frac{dz'}{E(z')}$$

$$H(z) = H_0 E(z)$$

$$E(z) = \sqrt{\Omega_{rel,0}(1+z)^4 + \Omega_{m,0}(1+z)^3 + \Omega_{\Lambda,0}}$$

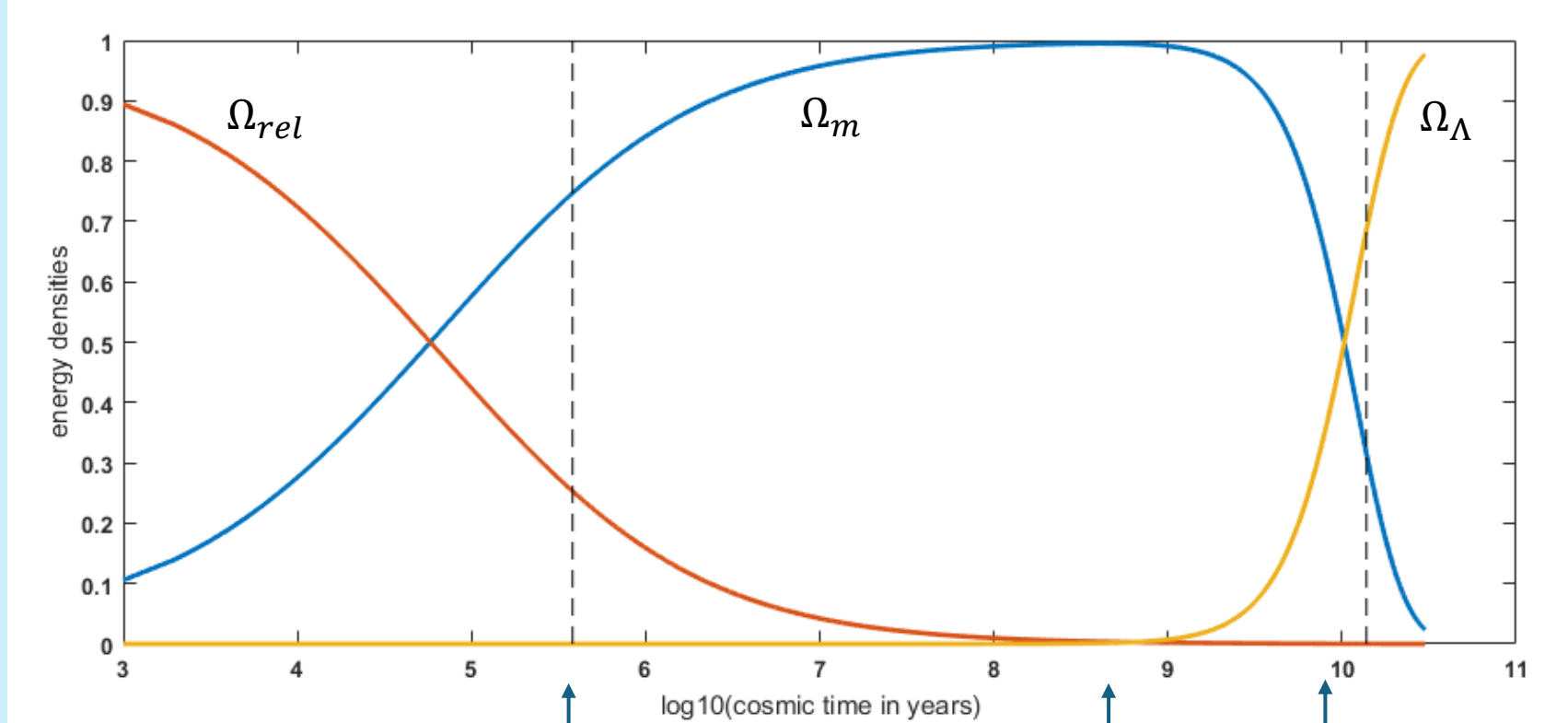
$D_M(z)$ and $H(z)$ encode **expansion history** of the Universe

Invloed donkere energie is alleen ‘recentelijk’ te merken

Planck waarneming CMB:

- gevoelig voor inflatie en materie versus straling,
- niet zozeer donkere energie (wel late time SW effect)

BAO



Initial conditions

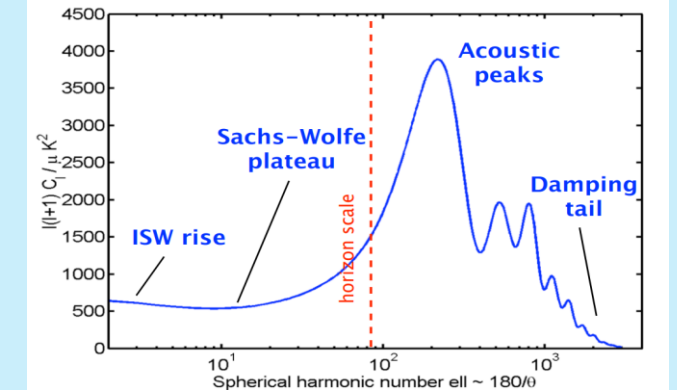
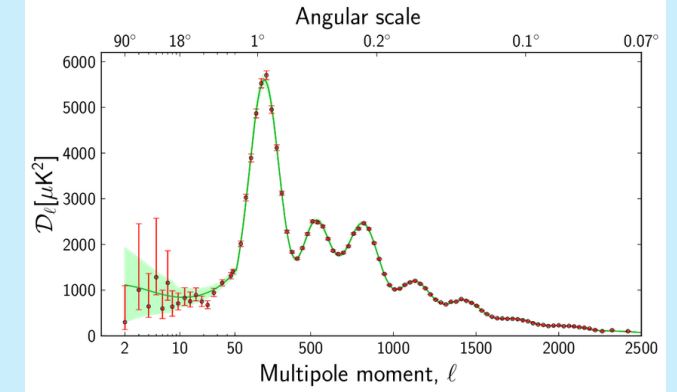
- End of inflation & Quantum Fluctuations
- BBN
- Neutrino decoupling

CMB
Photon decoupling
380,000y

Reionisation
(600 My – 1GY)

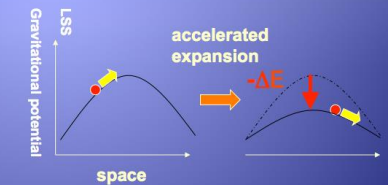
late-time
integrated Sachs-Wolfe

Late time SW invloed op CMB



Integrated Sachs-Wolfe effect

temperature fluctuation due to time-evolving gravitational potential

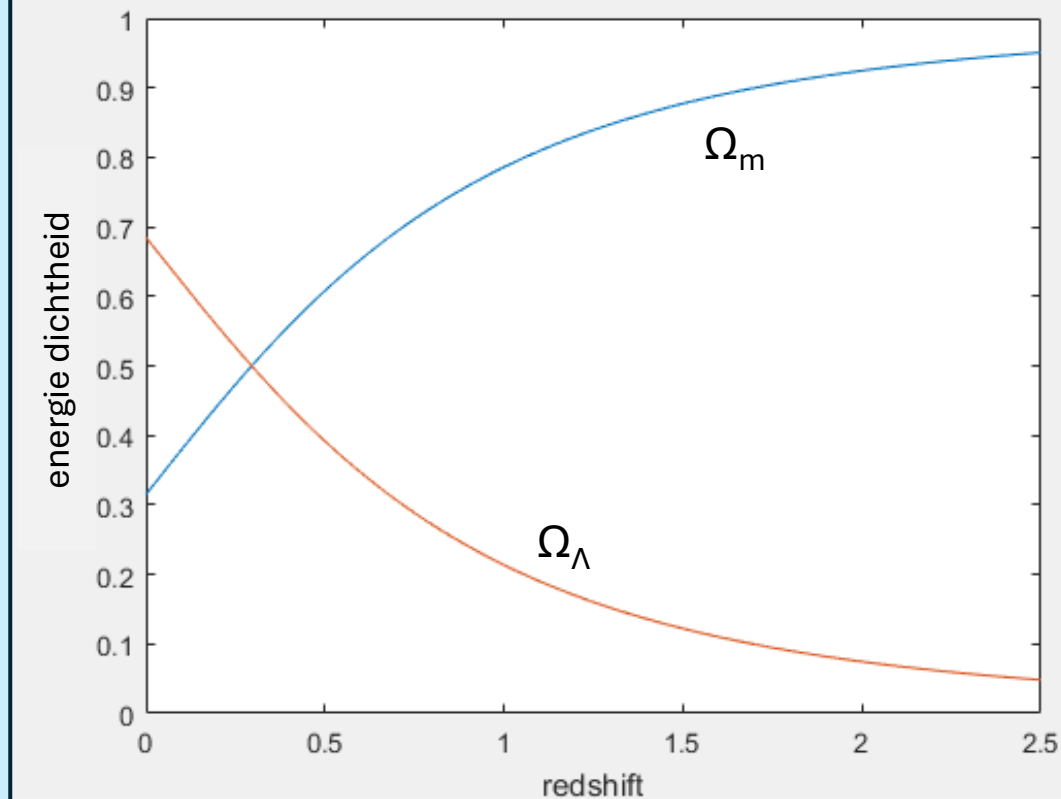


→ low temperature for CMB photons that pass through a void

[Sachs-Wolfe effect - Wikipedia](#)

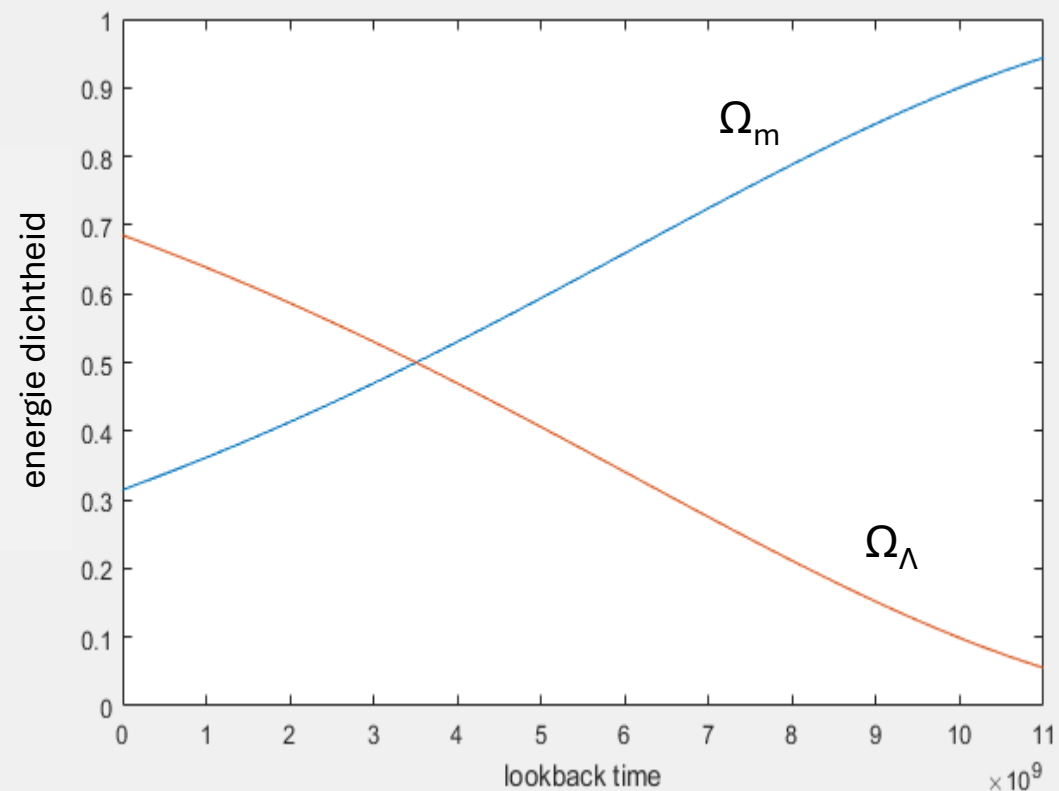
Waarneembereik supernovae techniek en BAO techniek

Evolutie energie dichtheden materie (Ω_m) en donkere energie (Ω_Λ)



SNe

BAO

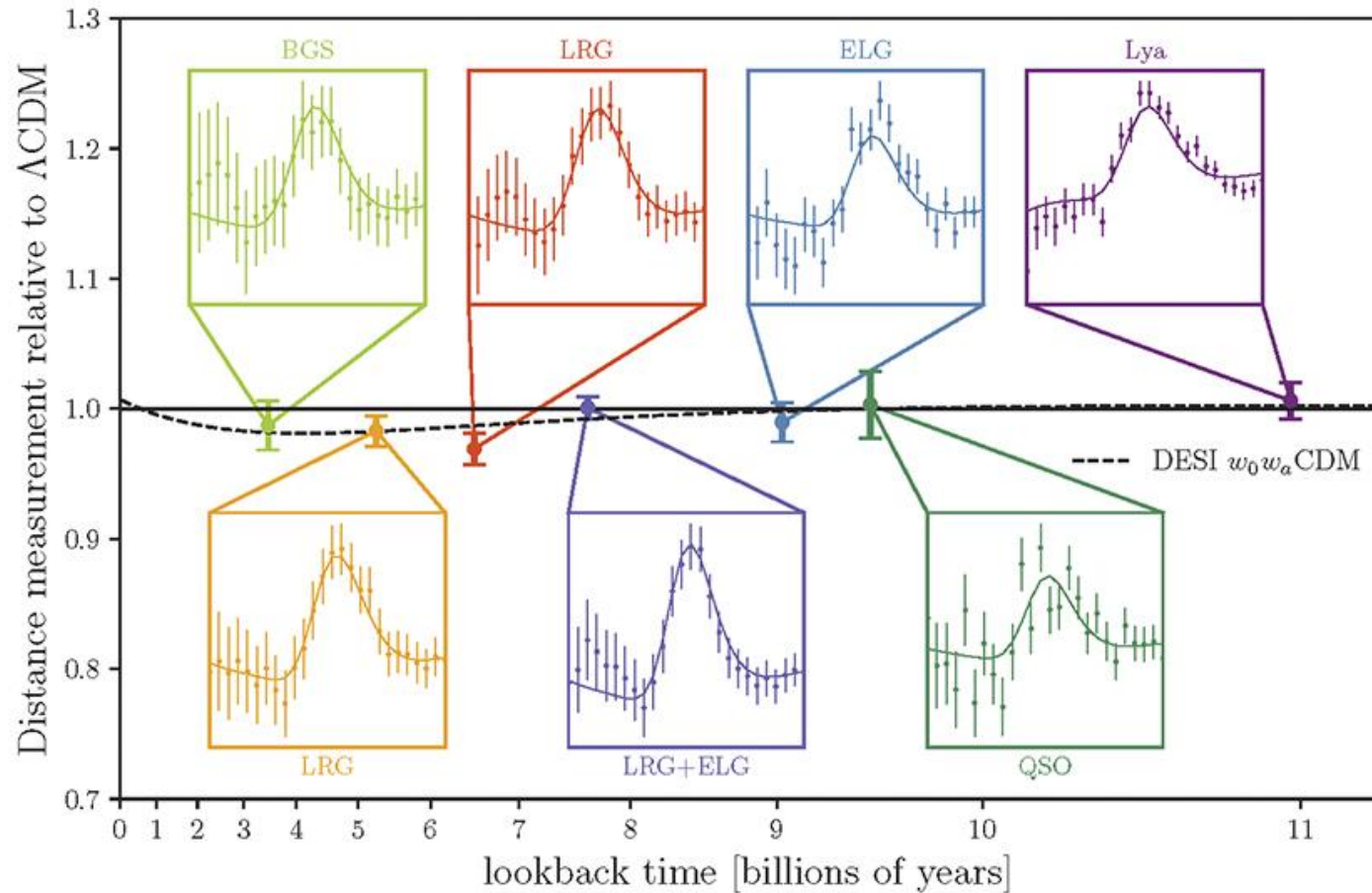


SNe

BAO

Waarom zijn BAO en SNe complementair?

“Vereenvoudigd” overzicht resultaten van de eerste data release DESI



BGS: Bright Galaxy Sample ($0.1 < z < 0.4$)

LRG: Luminous Red Galaxy Sample ($0.4 < z < 0.6$)

LRG: The Luminous Red Galaxy Sample ($0.6 < z < 0.8$)

LRG+ELG: The combined LRG and ELG Sample ($0.8 < z < 1.1$)

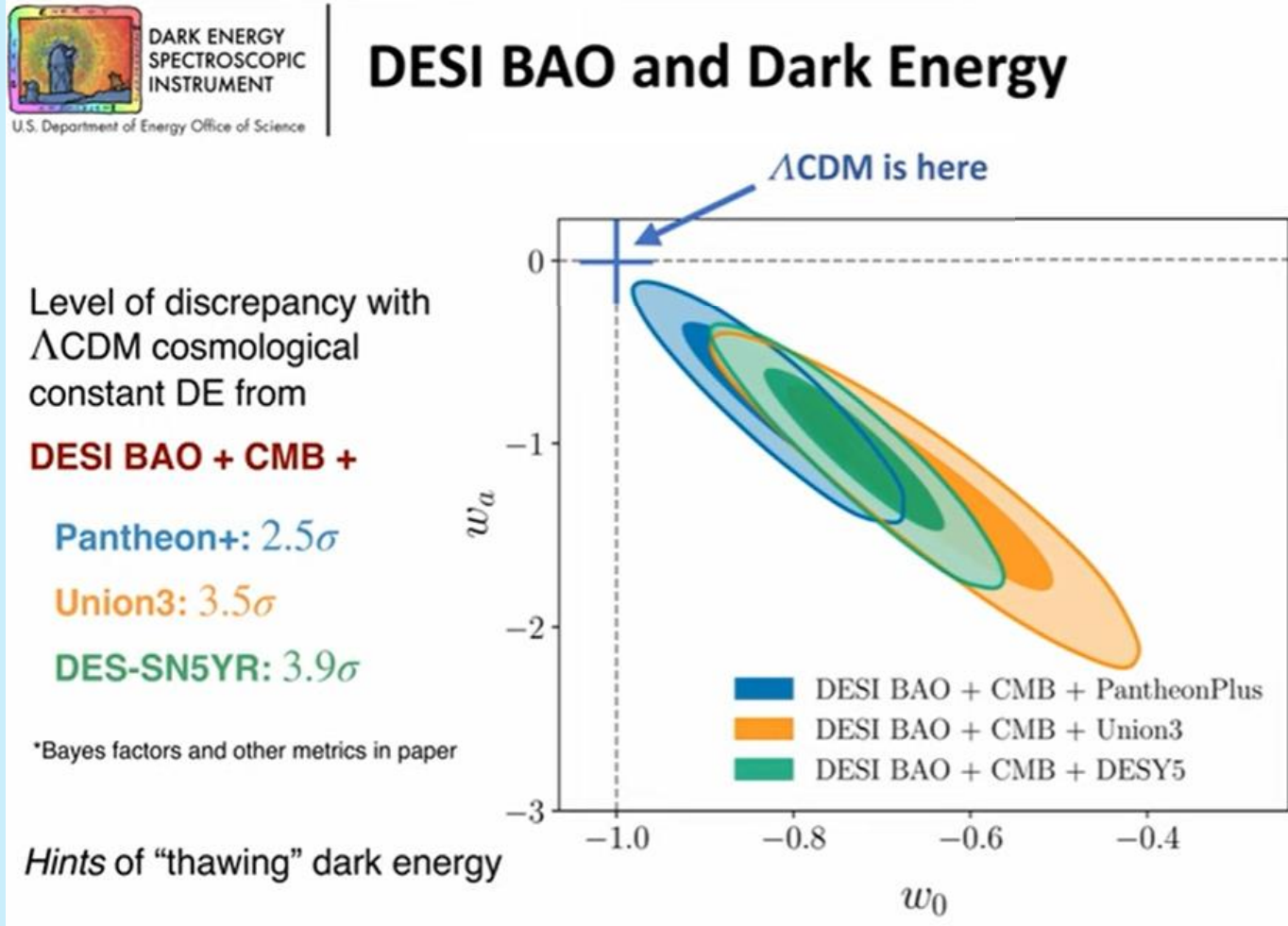
ELG: Emission Line Galaxy Sample ($1.1 < z < 1.6$)

QSO: Quasar Sample ($0.8 < z < 2.1$)

Ly α : Lyman- α Forest Sample ($1.77 < z < 4.16$)

DESI's Hubble diagram plots a characteristic pattern – baryon acoustic oscillations, or BAO “bubbles” – at different ages of the universe. The amount of dark energy determines how fast the universe grows, and therefore the size of the bubbles. The solid line is how big Λ CDM predicts the bubbles will be, while the dashed line shows the prediction from a different model where dark energy evolves with time. DESI will gather more data to determine which model is a better description of the universe. (Credit: Arnaud de Mattia/DESI collaboration)

Hint van afzwakkende donkere energy



SNe Ia surveys: PantheonPlus, Union3 and DESY5

CPL parametrisatie om verandering te testen, niet om een fysische verklaring te geven

$$w(a) = w_0 + w_a(1 - a) = w_0 + w_a \frac{1}{1 + z}$$

Chevallier-Polarski-Linder (CPL) parametrization (2001)

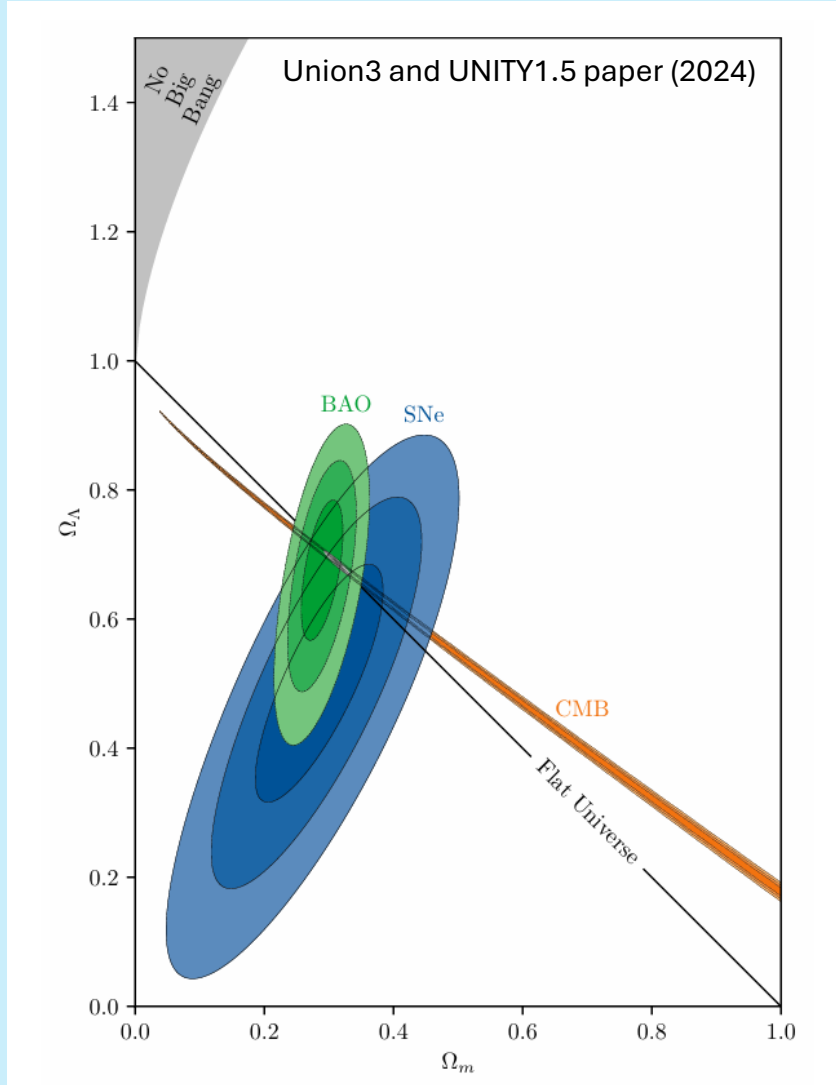
$$H(z) = H_0 E(z)$$

$$E(z) = \sqrt{\Omega_{rel,0}(1+z)^4 + \Omega_{m,0}(1+z)^3 + \Omega_{\Lambda,0}}$$

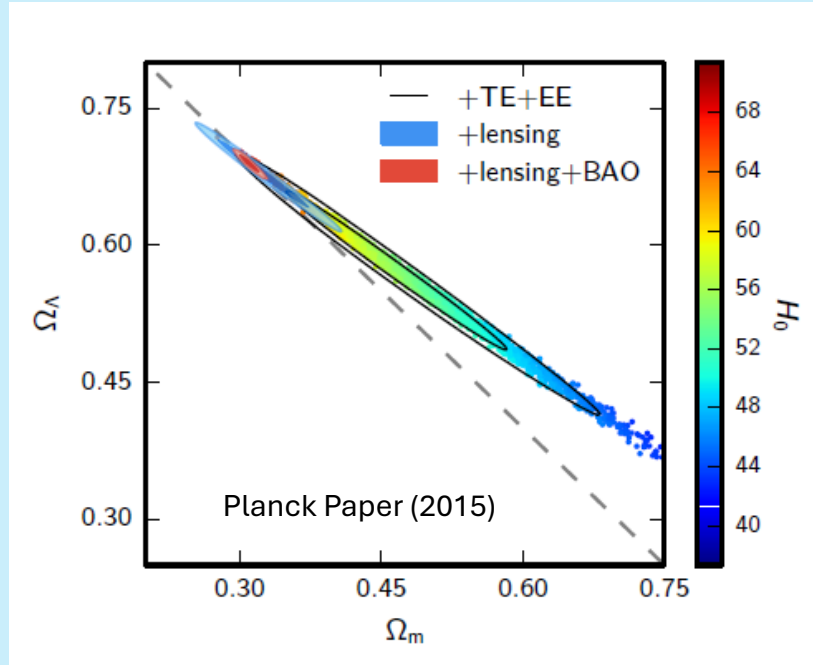
Evoluerende donkere energie?

$$\Omega_{\Lambda,0} \rightarrow \Omega_{\Lambda,0}(1+z)^{3(1+w_0+w_a)} e^{-3w_a z/(z+1)}$$

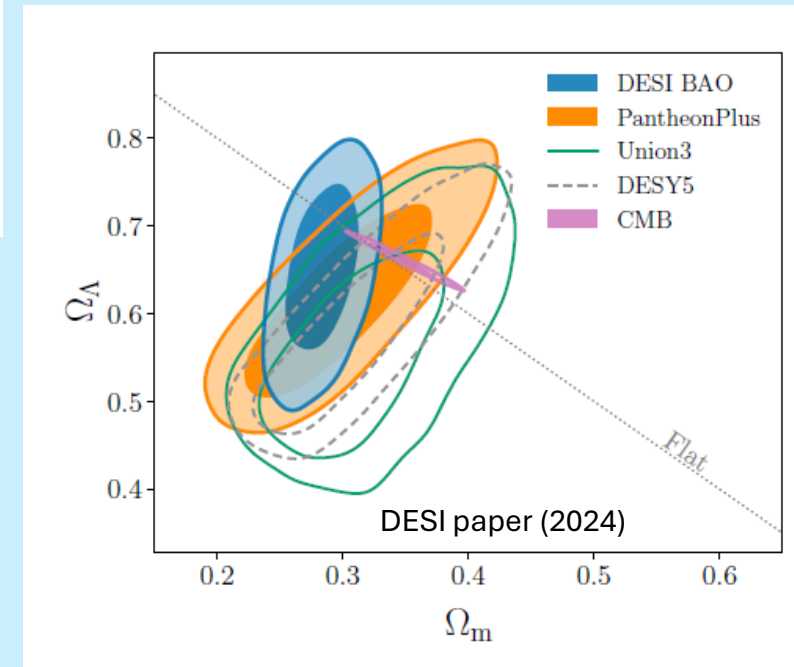
Nauwkeuriger bepaling Ω_Λ door combineren diverse waarneembronnen



Supernovae cosmology projects



Flat $\longrightarrow \Omega_m + \Omega_\Lambda = 1$



Inverse cosmic distance ladder (redshift drift i.p.v. BOA)

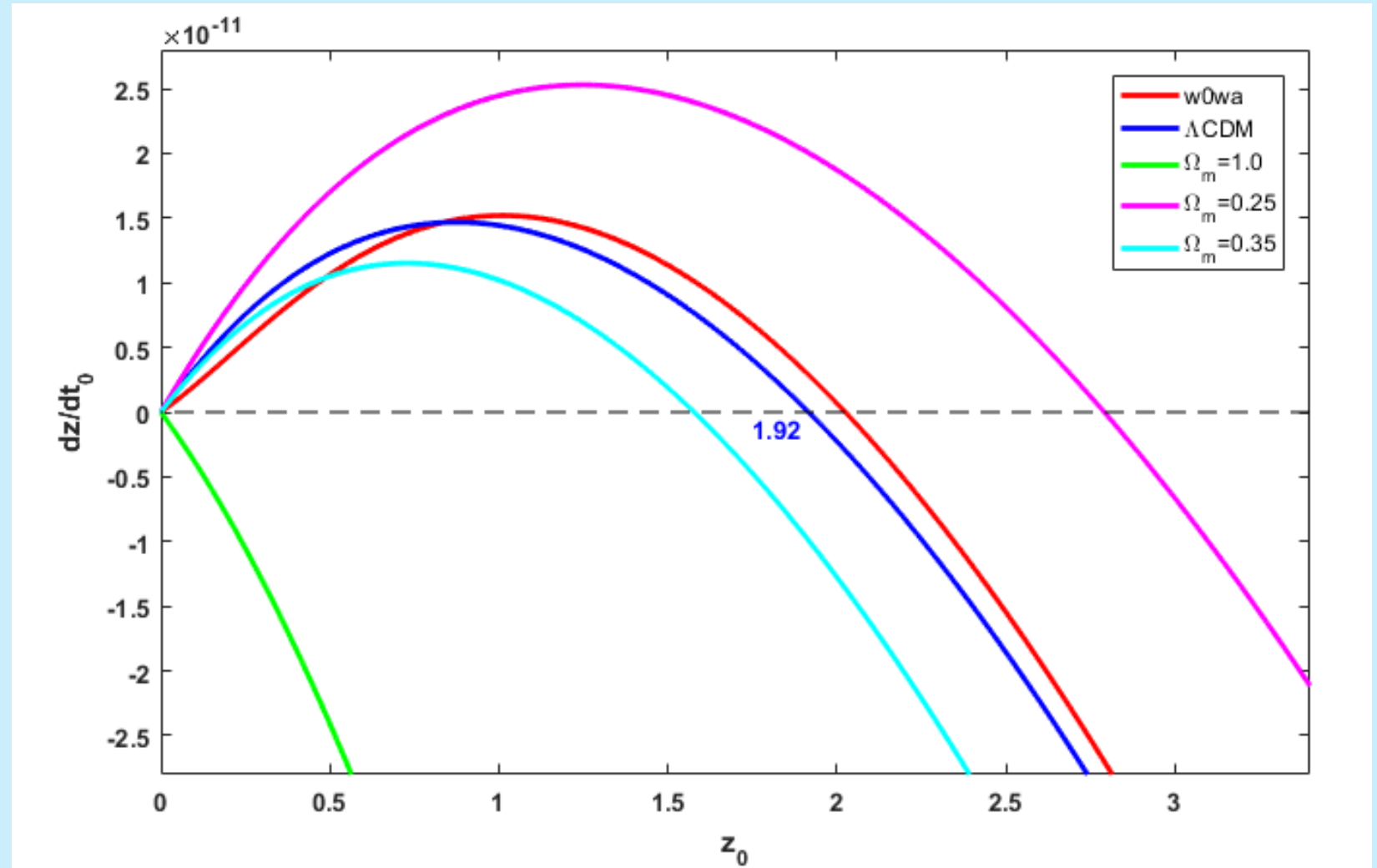
Directe meting van $H(z)$

Redshift drift:

$$\dot{z} = H_0(z + 1) - H(z)$$

$$H(z) = H_0 E(z)$$

$$E(z) = \sqrt{\Omega_{m,0}(1+z)^3 + \Omega_{\Lambda,0}}$$



Standard rulers, however, use a **reverse distance ladder** which does not directly measure H_0 . Instead, measurements are made of $H(z)$ (the Hubble parameter at redshift z), and a cosmological model is used to infer the value of H_0 .

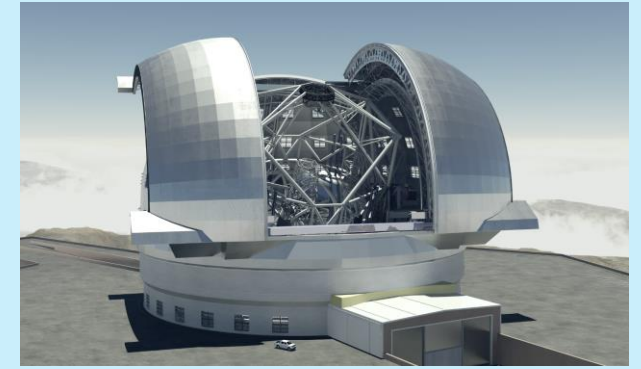
Toekomstige waarnemingen

- **DESI**
- **EUCLID**
- **Rubin**
- **Roman**
- **ELT**
-

DESI with combined efforts of **Euclid**, **ELT**, **Roman**, and **Rubin** will usher in a new “golden age” of cosmology



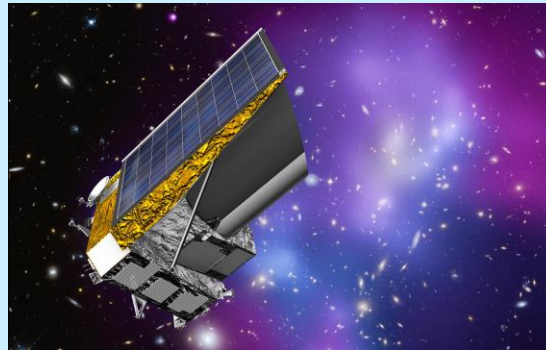
DESI (survey, BAO, 2019)



Extremely Large Telescope (ELT)
(redshift drift, SNe, BAO, weak lensing, 2028)



Vera C. **Rubin** Observatory
(survey, SNe, BAO, weak lensing, 2025)



EUCLID (survey, weak lensing, BAO, 2023)



Nancy Grace **Roman** Space Telescope
(survey, weak lensing, BOA, SNe, 2027)

Is donkere energie een idee of werkelijkheid?

Wat vinden jullie?

Welke fysische verklaringen zouden er kunnen zijn voor DE denken jullie?

Mogelijkheden voor DE

- Scalaire velden, Quintessence
- Interacting (decaying) dark energy/dark matter
- Early dark energy (EDE)
- Modifications to General Relativity
- Timescape/inhomogeneous cosmology (loslaten homogeniteit/isotropie)
- Non singular BH coupling to DE (cosmologically coupled black holes - CCBH)
- ...

Rekening houdend met de ruimte die de waarnemingen (CMB, BOA, SNe, etc) bieden



[Inhomogeneous cosmology - Wikipedia](#)

[New supernova analysis reframes dark energy debate](#)

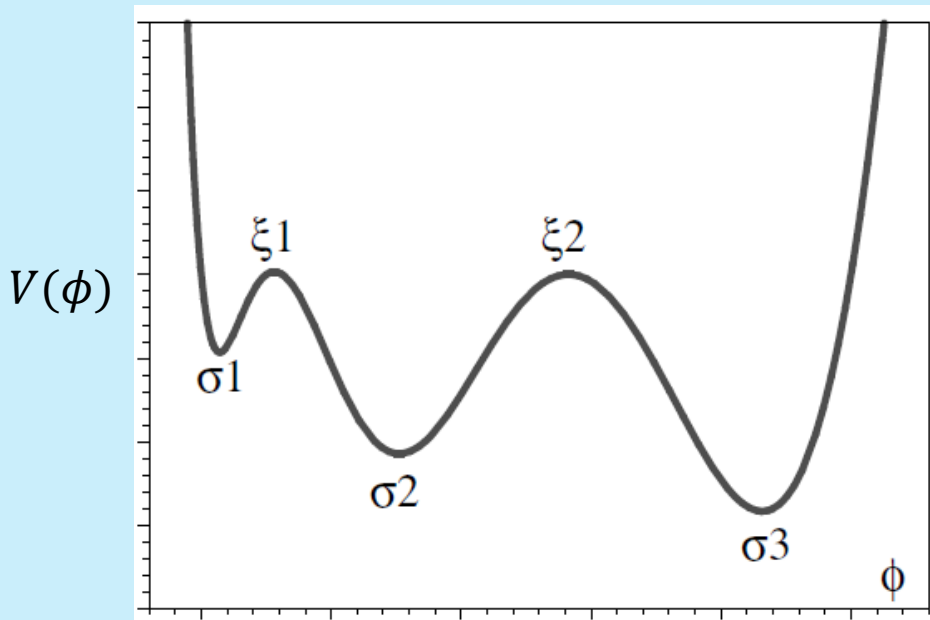
[Nonsingular black hole models - Wikipedia](#)

[Black holes that form in 'reverse Big Bang replays' could account for dark energy | Space](#)

Changing DE, fysische interpretatie

Scalaire velden,

- Quintessence
- Inflatie
- Higgs



Quintessence voorbeeld potentiaal

$$w = \frac{p}{\rho} = \frac{E_{kin} - E_{pot}}{E_{kin} + E_{pot}} = \frac{\frac{1}{2}\dot{\phi}^2 - V(\phi)}{\frac{1}{2}\dot{\phi}^2 + V(\phi)}$$

The kosmologische constante heeft een constante $w=-1$ terwijl quintessence een dynamische w heeft

$w < -1$ geeft negatieve kinetische energy, ook fantoom energie genoemd. Omhoog rollen in het diagram

